

Analyse et approximation numérique d'un modèle stratigraphique avec contrainte d'érosion

R. Eymard, T. Gallouët

Universités de Marne-la-Vallée et de Provence

Plan

1. Modélisation
2. Un théorème d'unicité
3. Schéma de volumes finis
4. Exemples numériques

Plan

1. Modélisation
2. Un théorème d'unicité
3. Schéma de volumes finis
4. Exemples numériques

Modèle monolithologique

$$H_t(x, t) - \operatorname{div}[\Lambda(x)\nabla H(x, t)] = 0$$

Modèle monolithologique

$$H_t(x, t) - \operatorname{div}[\Lambda(x)\nabla H(x, t)] = 0$$

insuffisant...

Modèle monolithologique

$$H_t(x, t) - \operatorname{div}[\Lambda(x)\nabla H(x, t)] = 0$$

insuffisant...

contrainte d'érosion maximale

$$H_t(x, t) - \operatorname{div}[\Lambda(x)\lambda(x, t)\nabla H(x, t)] = 0$$

$$H_t(x, t) \geq -F(x)$$

$$0 \leq \lambda(x, t) \leq 1$$

$$(\lambda(x, t) - 1) (H_t(x, t) + F(x)) = 0$$

→ deux problèmes à étudier...

Problèmes stationnaire et transitoire

on pose, pour $t = t_0$, $u(x) = \lambda(x, t_0)$, $g(x) = \Lambda(x) \nabla H(x, t_0)$

Problèmes stationnaire et transitoire

on pose, pour $t = t_0$, $u(x) = \lambda(x, t_0)$, $g(x) = \Lambda(x) \nabla H(x, t_0)$

problème stationnaire

on étudie $\Gamma : g \mapsto \tilde{g}$ avec

$$\tilde{g}(x) = u(x)g(x)$$

$$\operatorname{div}[u(x)g(x)] + F(x) \geq 0$$

$$0 \leq u(x) \leq 1$$

$$(u(x) - 1) (\operatorname{div}[u(x)g(x)] + F(x)) = 0$$

Problèmes stationnaire et transitoire

on pose, pour $t = t_0$, $u(x) = \lambda(x, t_0)$, $g(x) = \Lambda(x) \nabla H(x, t_0)$

problème stationnaire

on étudie $\Gamma : g \mapsto \tilde{g}$ avec

$$\tilde{g}(x) = u(x)g(x)$$

$$\operatorname{div}[u(x)g(x)] + F(x) \geq 0$$

$$0 \leq u(x) \leq 1$$

$$(u(x) - 1) (\operatorname{div}[u(x)g(x)] + F(x)) = 0$$

problème transitoire

$$H_t(x, t) - \operatorname{div}[\Gamma (\Lambda(\cdot) \nabla H(\cdot, t)) (x)] = 0$$

Hypothèses

$\Omega \subset \mathbb{R}^d$ ouvert régulier

$\exists h \in C^1(\overline{\Omega})$ et $\Lambda : \Omega \longrightarrow \mathcal{M}_d$ tq $g : \Omega \rightarrow \mathbb{R}^d$,
 $x \mapsto \Lambda(x)\nabla h(x)$ Lipschitz et $g(x) \cdot \mathbf{n}(x) = 0$

$F \in L^\infty(\Omega)$, $F(x) \geq 0$ pp.

Remarque : $g = 0$ et $F = 0 \Rightarrow$ non unicité de u , mais unicité de \tilde{g}

Non régularité a priori

on cherche sens faible : soit $\xi \in C^1(\mathbb{R})$ tq $\xi'(1) \geq 0$

on a alors

$$\xi'(u(x))(\operatorname{div}[u(x)g(x)] + F(x)) =$$

$$\begin{aligned} &\xi'(1)(\operatorname{div}[u(x)g(x)] + F(x)) + \\ &(\xi'(u(x)) - \xi'(1))(\operatorname{div}[u(x)g(x)] + F(x)) = \end{aligned}$$

$$\xi'(1)(\operatorname{div}[u(x)g(x)] + F(x)) \geq 0$$

forme faible de $\xi'(u(x))(\operatorname{div}[u(x)g(x)] + F(x)) \geq 0$ pp.

Solutions faibles

$\tilde{g} = ug$ solution faible si
 $u \in L^\infty(\Omega)$ et $0 \leq u(x) \leq 1$ pp.
et

$$\int_{\Omega} \left[\begin{array}{l} \xi(u(x))(-g(x) \cdot \nabla \varphi(x)) + \\ [\xi'(u(x))u(x) - \xi(u(x))] \varphi(x) \operatorname{div} g(x) + \\ \xi'(u(x))\varphi(x)F(x) \end{array} \right] dx \geq 0$$

$\forall \xi \in C^1(\mathbb{R})$ convexe tq. $\xi'(1) \geq 0$, $\forall \varphi \in C^1(\overline{\Omega}, \mathbb{R}_+)$.

($\xi'(u(x))(\operatorname{div}[u(x)g(x)] + F(x)) \geq 0$ multiplié par $\varphi \dots$)

Propriété des solutions faibles

$$\int_{\Omega} (-\tilde{g}(x) \cdot \nabla \varphi(x) + F(x)\varphi(x)) dx \geq 0, \quad \forall \varphi \in C^1(\bar{\Omega}, \mathbb{R}_+)$$

si \tilde{g} Lipschitz, solution faible ssi

$$\tilde{g}(x) = u(x)g(x) \text{ pp. et } 0 \leq u(x) \leq 1 \text{ pp.}$$

$$\operatorname{div}[u(x)g(x)] + F(x) \geq 0 \text{ pp.}$$

$$(u(x) - 1) (\operatorname{div}[u(x)g(x)] + F(x)) = 0 \text{ pp.}$$

Cas particulier 1D

$(a, b) \in \mathbb{R}^2$ tq $a < b$, $F \in L^\infty(]a, b[)$, $g \in C^0([a, b])$ Lipschitz
avec $g(a) = g(b) = 0$

solution faible $\tilde{g} : [a, b] \rightarrow \mathbb{R}$ vérifie $\forall x \in [a, b]$

$$\tilde{g}(x) = \min_{y \in [x, b]} \left(g^+(y) + \int_x^y F(t) dt \right) - \min_{y \in [a, x]} \left(g^-(y) + \int_y^x F(t) dt \right)$$

Cas particulier 1D

$(a, b) \in \mathbb{R}^2$ tq $a < b$, $F \in L^\infty(]a, b[)$, $g \in C^0([a, b])$ Lipschitz
avec $g(a) = g(b) = 0$

solution faible $\tilde{g} : [a, b] \rightarrow \mathbb{R}$ vérifie $\forall x \in [a, b]$

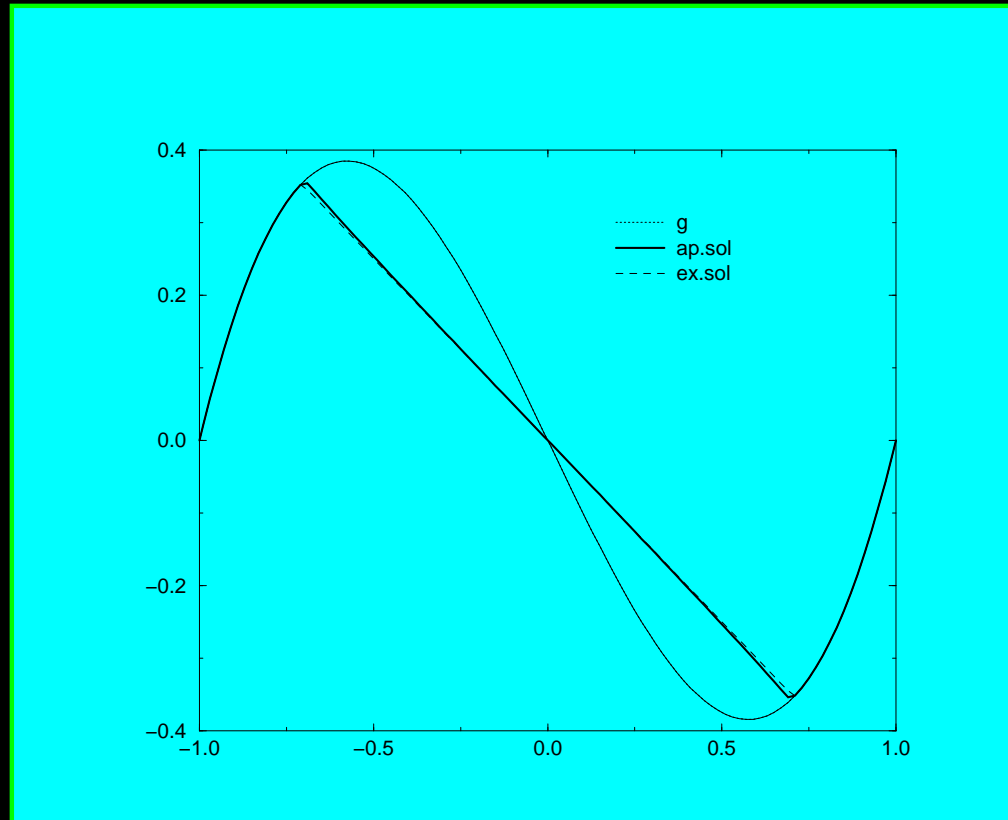
$$\tilde{g}(x) = \min_{y \in [x, b]} \left(g^+(y) + \int_x^y F(t) dt \right) - \min_{y \in [a, x]} \left(g^-(y) + \int_y^x F(t) dt \right)$$

Preuve : si $g(x) > 0$ et $\tilde{g}(x) < g(x)$, il existe $y_0 \in]x, b]$ et $\varepsilon > 0$ tq

$$\tilde{g}(x') = g^+(y_0) + \int_{x'}^{y_0} F(t) dt, \quad \forall x' \in [x, x + \varepsilon[$$

Exemple 1D

$\Omega =] - 1, 1[$, $g : x \mapsto x^3 - x$ et $F : x \mapsto 1/2$



Plan

1. Modélisation
2. Un théorème d'unicité
3. Schéma de volumes finis
4. Exemples numériques

Méthode

1. définir un ensemble de fonctions $\mathcal{C}(g, F)$, auquel appartient la solution faible
2. affaiblir encore le sens de la solution... en prévision convergence minimale sol. approchées...
3. montrer que la solution très faible est plus grande que tous les éléments de $\mathcal{C}(g, F)$
4. en déduire solution très faible est en fait faible et maximale
5. en déduire unicité ... et conjecture

Un ensemble convexe de fonctions

$$\mathcal{C}(g, F) = \{ \gamma \text{ tq } \exists v \in L^\infty(\Omega), \text{ avec } \gamma(x) = v(x)g(x), \\ 0 \leq v(x) \leq 1 \text{ pp. et } \forall \varphi \in C^1(\bar{\Omega}, \mathbb{R}_+), \\ \int_{\Omega} ([-\gamma(x) \cdot \nabla \varphi(x)] + \varphi(x)F(x)) \, dx \geq 0 \}$$

caractérisé par

$$\mathcal{C}(g, F) = \{ \gamma \text{ tq } \exists v \in L^\infty(\Omega), \text{ avec } \gamma(x) = v(x)g(x), \\ 0 \leq v(x) \leq 1 \text{ pp. et sens faible de} \\ \xi'(u(x))(\operatorname{div}[u(x)g(x)] + F(x)) \geq 0 \text{ avec} \\ \forall \kappa \in [0, 1], \xi'(\kappa) \geq 0 \}$$

$$\int_{\Omega} \left(\begin{array}{l} \xi(v(x))[-g(x) \cdot \nabla \varphi(x)] \quad + \\ [\xi'(v(x))v(x) - \xi(v(x))] \varphi(x) \operatorname{div} g(x) \quad + \\ \xi'(v(x))\varphi(x)F(x) \end{array} \right) dx \geq 0,$$

$$\forall \varphi \in C^1(\bar{\Omega}, \mathbb{R}_+), \forall \xi \in C^1(\mathbb{R}) \text{ tq. } \forall \kappa \in [0, 1], \xi'(\kappa) \geq 0$$

Solution très faible

$\hat{g} = ug$ pp., avec $u \in L^\infty(\Omega \times (0, 1))$, $0 \leq u(x, \alpha) \leq 1$ pp
 $(x, \alpha) \in \Omega \times (0, 1)$ et sens faible de

$\xi'(u(x, \alpha))(\operatorname{div}[u(x, \alpha)g(x)] + F(x)) \geq 0$ avec $\xi \in C^1(\mathbb{R})$,
 convexe tq. $\xi'(1) \geq 0$

$$\int_{\Omega} \int_0^1 \left[\begin{array}{l} \xi(u(x, \alpha))(-g(x) \cdot \nabla \varphi(x)) + \\ [\xi'(u(x, \alpha))u(x, \alpha) - \xi(u(x, \alpha))] \varphi(x) \operatorname{div} g(x) + \\ \xi'(u(x, \alpha)) \varphi(x) F(x) \end{array} \right] d\alpha dx \geq 0$$

$\forall \xi \in C^1(\mathbb{R})$, convexe tq. $\xi'(1) \geq 0$, $\forall \varphi \in C^1(\overline{\Omega}, \mathbb{R}_+)$

(sol. mesure d'Young vue comme "processus")

Théorème de comparaison

$\gamma \in \mathcal{C}(g, F)$ avec $\gamma(x) = v(x)g(x)$

\hat{g} sol. très faible, avec $\hat{g}(x, \alpha) = u(x, \alpha)g(x)$

alors

$$\int_{\Omega} \int_0^1 (v(x) - u(x, \alpha))^+ [-g(x) \cdot \nabla \varphi(x)] \, d\alpha dx \geq 0,$$

$\forall \varphi \in C^1(\bar{\Omega}, \mathbb{R}_+).$

preuve : méthode du dédoublement de variable
(Krushkov)

utilise g Lipschitz

Conséquence : unicité

on prend $\gamma(x) = \int_0^1 \hat{g}(x, \alpha) d\alpha \in \mathcal{C}(g, F)$

et $\varphi = h - h_{\min}$, on obtient

$$- \int_{\Omega} \int_0^1 \left(\int_0^1 u(x, \beta) d\beta - u(x, \alpha) \right)^+ \Lambda(x) \nabla h(x) \cdot \nabla h(x) d\alpha dx \geq 0$$

implique $\tilde{g}(x, \alpha)$ indép. de α , puis unique

Conséquence : solution maximale

$$\tilde{g}(x) = \max_{\gamma \in \mathcal{C}(g, F)} \frac{|\gamma(x)|}{|g(x)|} g(x)$$

implique

\tilde{g} est la projection dans $L^2(\Omega)^d$ de g sur $\mathcal{C}(g, F)$
(convexe fermé non vide car $0 \in \mathcal{C}(g, F)$)

conjecture : résultat vrai quelle que soit régularité de g ...

Plan

1. Modélisation
2. Un théorème d'unicité
3. Schéma de volumes finis
4. Exemples numériques

Schéma numérique 1

\mathcal{T} maillage admissible Ω , $g_{\mathcal{T}} := (g_{K,L})_{K \in \mathcal{T}, L \in \mathcal{N}_K}$ tq
 $g_{K,L} = -g_{L,K}$ et

$$\sum_{L \in \mathcal{N}_K} g_{K,L} = \int_K \operatorname{div} g(x) dx := G_K, \quad \forall K \in \mathcal{T}$$

tel que $g_{K,L}$ approche $\bar{g}_{K,L} = \int_{K|L} g(x) \cdot \mathbf{n}_{K,L} ds(x)$, avec

$$\sum_{K \in \mathcal{T}} \sum_{L \in \mathcal{N}_K} \frac{\operatorname{diam}(K)}{m_{KL}} (g_{K,L} - \bar{g}_{K,L})^2 \rightarrow 0$$

et $F_K = \int_K F(x) dx$

(exemples de $g_{K,L}$)

$$1. g_{K,L} = \bar{g}_{K,L} = \int_{K|L} g(x) \cdot \mathbf{n}_{K,L} ds(x)$$

$$2. \sum_{L \in \mathcal{N}_K} g_{K,L} = \int_K \operatorname{div} g(x) dx$$

avec $g_{K,L} = \tau_{KL}(h_L - h_K)$

(méthode de volumes finis : E-Gallouët, MH. Vignal)

$$3. \sum_{L \in \mathcal{N}_K} g_{K,L} = \int_K \operatorname{div} g(x) dx$$

(et éléments finis mixtes : Raviart, Thomas, Chavent, Jaffré, Droniou-E-Hilhorst-Zhou)

Schéma numérique 2

schéma donné par

$$\sum_{L \in \mathcal{N}_K} (g_{K,L}^+ u_L - g_{K,L}^- u_K) + F_K = 0 \quad \text{et} \quad u_K \leq 1 \quad \text{ou}$$

$$\sum_{L \in \mathcal{N}_K} (g_{K,L}^+ u_L - g_{K,L}^- u_K) + F_K \geq 0 \quad \text{et} \quad u_K = 1$$

$$u_{\mathcal{T}}(x) = u_K, \quad \forall x \in K, \quad \forall K \in \mathcal{T}$$

Algorithme numérique

Initialisation: $u_K^{(0)} = 1$ et $p_K^{(0)} = 1$, pour tout $K \in \mathcal{T}$

Itérations: pour $u_K^{(n-1)}$ et $p_K^{(n-1)}$ connus pour tout $K \in \mathcal{T}$

1.

si $\sum_{L \in \mathcal{N}_K} (g_{K,L}^+ u_L^{(n-1)} - g_{K,L}^- u_K^{(n-1)}) + F_K < 0$, alors $p_K^{(n)} = 0$

si $\sum_{L \in \mathcal{N}_K} (g_{K,L}^+ u_L^{(n-1)} - g_{K,L}^- u_K^{(n-1)}) + F_K \geq 0$, alors $p_K^{(n)} = p_K^{(n-1)}$

2.

si $p_K^{(n)} = 1$, alors $u_K^{(n)} = 1$

si $p_K^{(n)} = 0$, alors $\sum_{L \in \mathcal{N}_K} (g_{K,L}^+ u_L^{(n)} - g_{K,L}^- u_K^{(n)}) + F_K = 0$

Propriétés de l'algorithme

1. existe unique solution $(p_K^{(n)}, u_K^{(n)})$
2. suite $(u_K^{(n)})_{n \in \mathbb{N}}$ décroissante
3. $u_K^{(n)} \geq 0$
4. convergence en au plus $\text{card}(\mathcal{T})$ itérations

Convergence du schéma

estimation L^∞ implique sous-suite cv non-lin. faible * :
il existe fonction $\hat{u} \in L^\infty(\Omega \times]0, 1[)$ tq
pour tout $\psi \in C^0(\mathbb{R})$, $\psi(u_{\mathcal{T}})$ cv $\int_0^1 \psi(\hat{u}(\cdot, \alpha)) d\alpha$ topologie
faible * de $L^\infty(\Omega)$

inégalité BV-faible

$$\sum_{(K,L) \in \mathcal{E}} |g_{K,L}| |u_K - u_L| \leq \frac{C}{|\mathcal{T}|^{1/2}}$$

conséquence : passage à la limite schéma \times fonction test
donne $\hat{u}g$ solution très faible

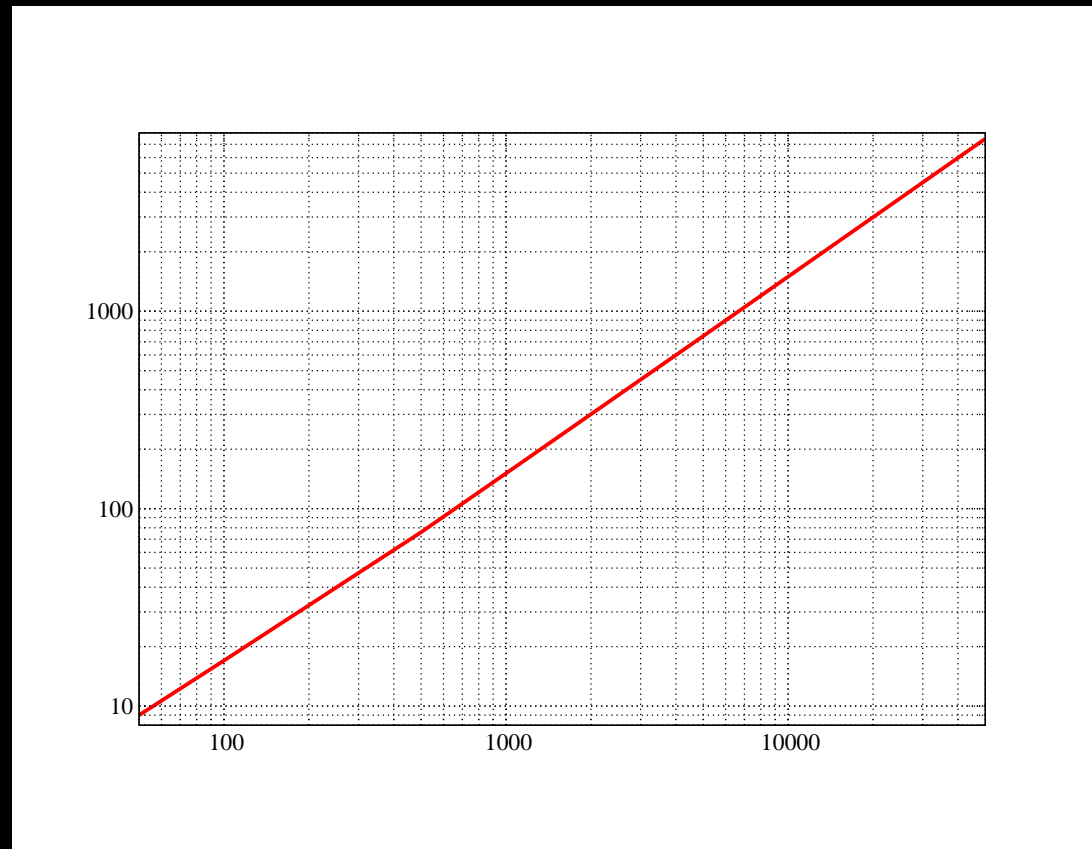
unicité solution très faible implique solution faible et
convergence forte dans $L^p(\Omega)$ pour $p \geq 1$

Plan

1. Modélisation
2. Un théorème d'unicité
3. Schéma de volumes finis
4. Exemples numériques

Propriétés de convergence, exemple 1

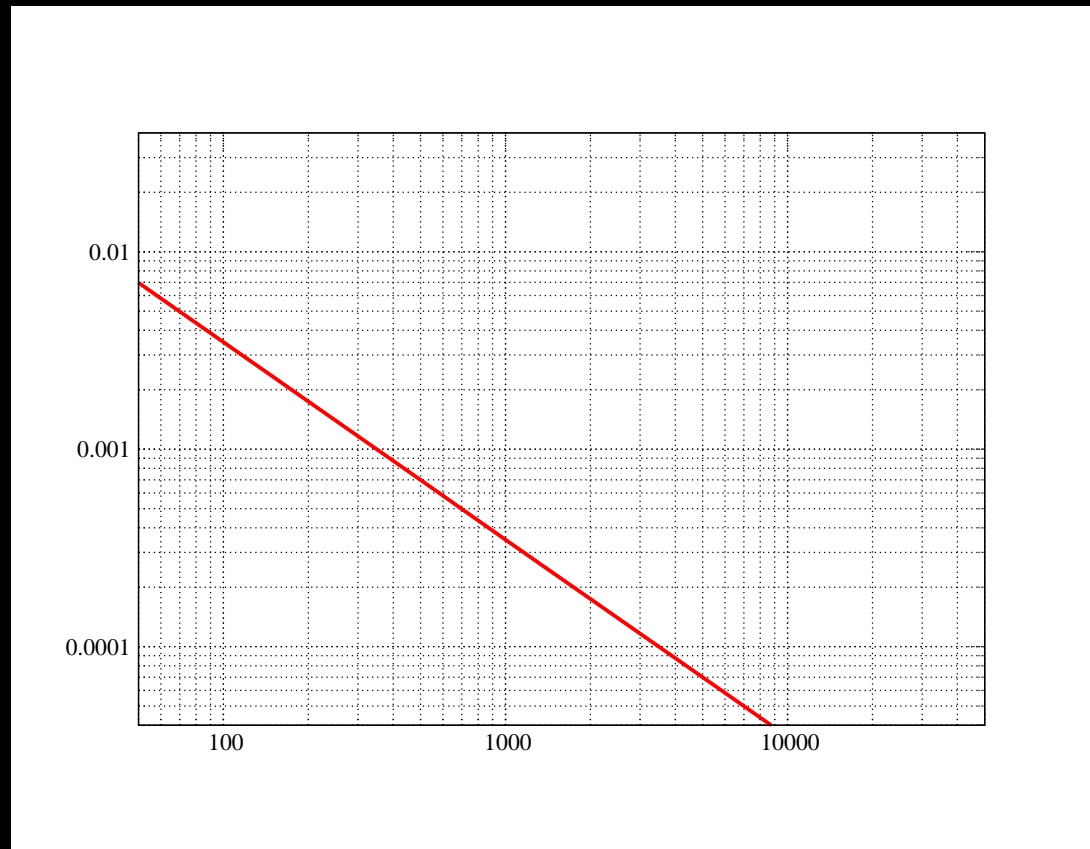
$\Omega =] - 1, 1[$, $g : x \mapsto x^3 - x$ et $F : x \mapsto 1/2$



Nombre d'itérations fonction du nombre de mailles

Propriétés de convergence, exemple 1

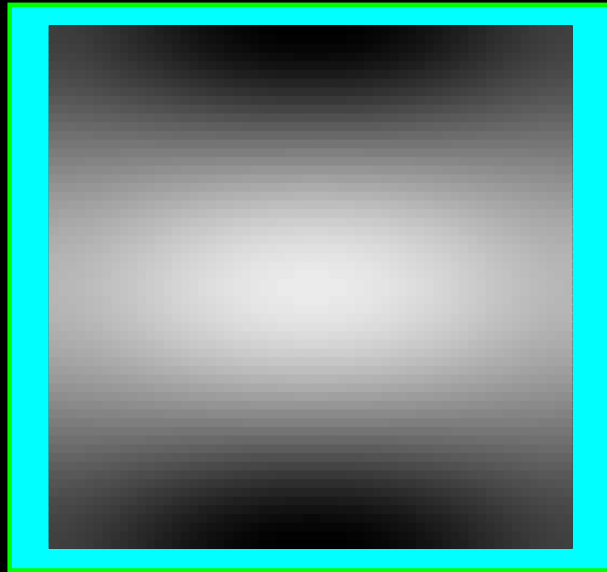
$\Omega =] - 1, 1[$, $g : x \mapsto x^3 - x$ et $F : x \mapsto 1/2$



Norme L^1 de l'erreur fonction du nombre de mailles

Exemple 2D

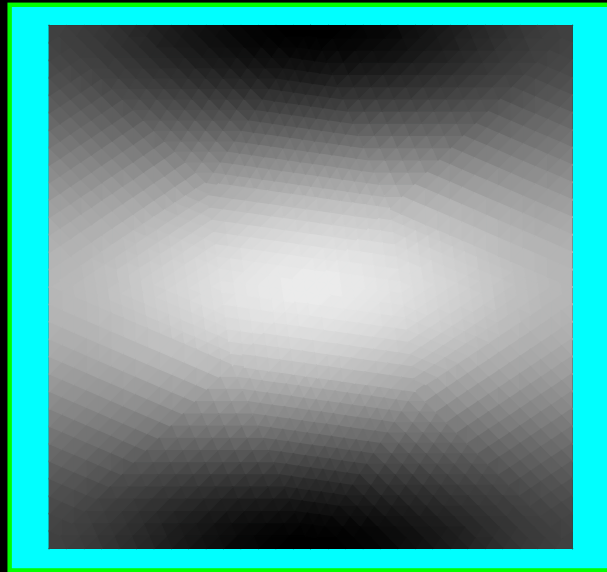
$\Omega = (0, 1)^2$, $\Lambda(x) = I_d$ et $F(x) = 1/100$ pp, $g = \nabla h$ avec h solution de $-\Delta h(x, y) = y(1 - y)(-x^2 + x - 1/6)$, et $\nabla h \cdot \mathbf{n} = 0$ sur $\partial\Omega$



Calcul de h sur des carrés

Exemple 2D

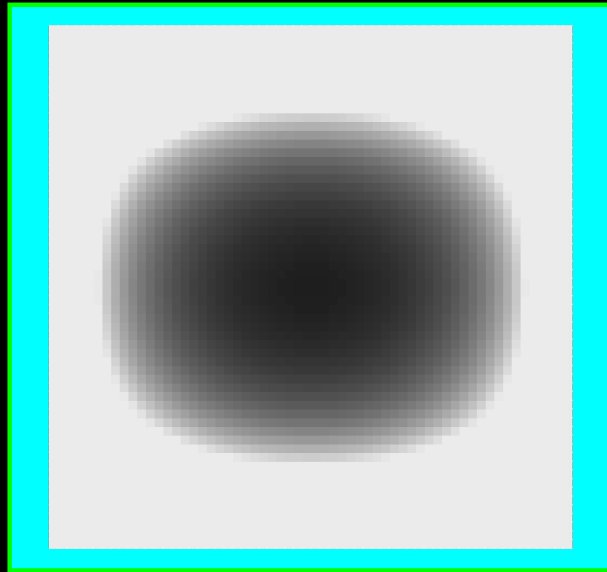
$\Omega = (0, 1)^2$, $\Lambda(x) = I_d$ et $F(x) = 1/100$ pp, $g = \nabla h$ avec h solution de $-\Delta h(x, y) = y(1 - y)(-x^2 + x - 1/6)$, et $\nabla h \cdot \mathbf{n} = 0$ sur $\partial\Omega$



Calcul de h sur des triangles

Exemple 2D

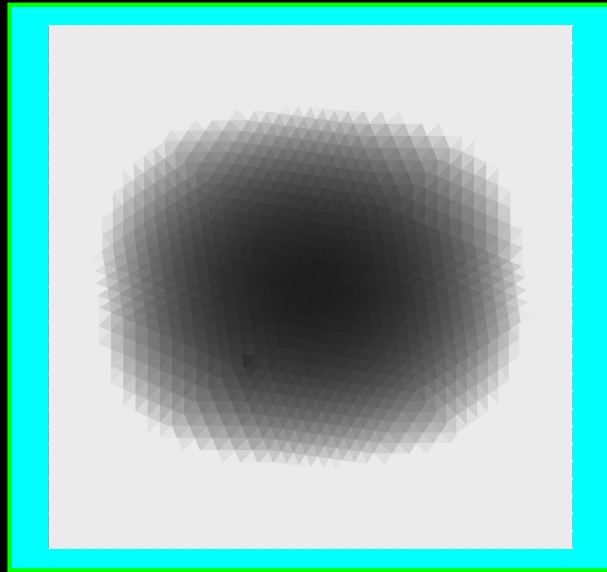
$\Omega = (0, 1)^2$, $\Lambda(x) = I_d$ et $F(x) = 1/100$ pp, $g = \nabla h$ avec h solution de $-\Delta h(x, y) = y(1 - y)(-x^2 + x - 1/6)$, et $\nabla h \cdot \mathbf{n} = 0$ sur $\partial\Omega$



Calcul de u sur des carrés

Exemple 2D

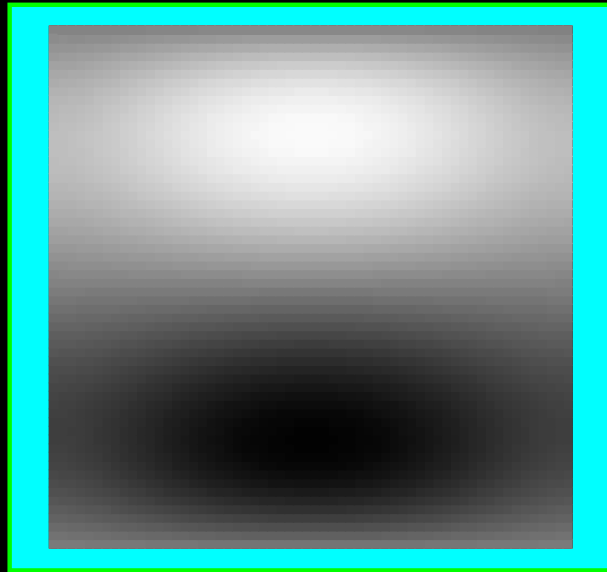
$\Omega = (0, 1)^2$, $\Lambda(x) = I_d$ et $F(x) = 1/100$ pp, $g = \nabla h$ avec h solution de $-\Delta h(x, y) = y(1 - y)(-x^2 + x - 1/6)$, et $\nabla h \cdot \mathbf{n} = 0$ sur $\partial\Omega$



Calcul de u sur des triangles

Exemple 2D

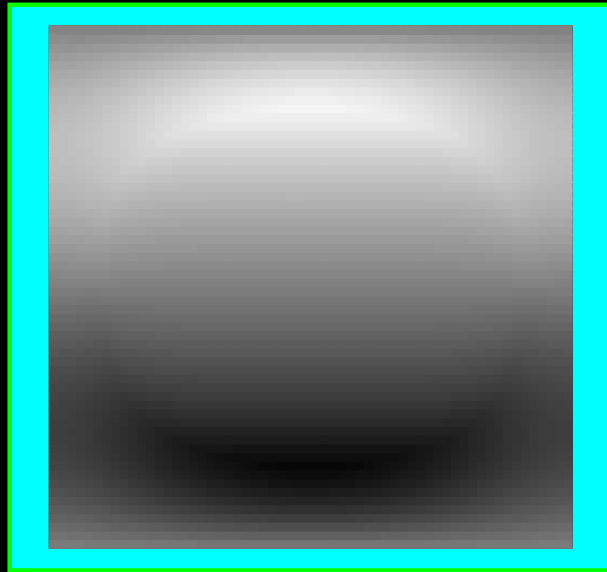
$\Omega = (0, 1)^2$, $\Lambda(x) = I_d$ et $F(x) = 1/100$ pp, $g = \nabla h$ avec h solution de $-\Delta h(x, y) = y(1 - y)(-x^2 + x - 1/6)$, et $\nabla h \cdot \mathbf{n} = 0$ sur $\partial\Omega$



Calcul de $g \cdot e_1$ sur des carrés

Exemple 2D

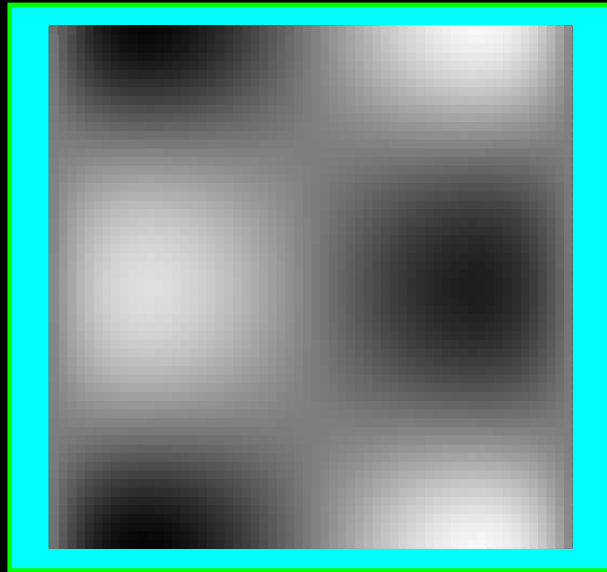
$\Omega = (0, 1)^2$, $\Lambda(x) = I_d$ et $F(x) = 1/100$ pp, $g = \nabla h$ avec h solution de $-\Delta h(x, y) = y(1 - y)(-x^2 + x - 1/6)$, et $\nabla h \cdot \mathbf{n} = 0$ sur $\partial\Omega$



Calcul de $\tilde{g} \cdot e_1$ sur des carrés

Exemple 2D

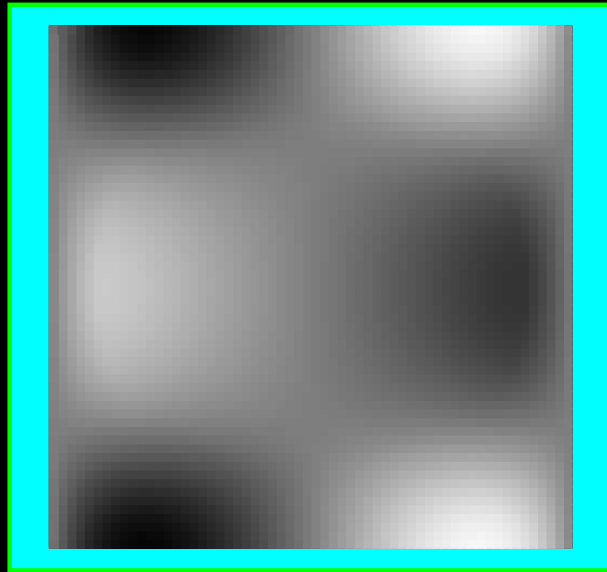
$\Omega = (0, 1)^2$, $\Lambda(x) = I_d$ et $F(x) = 1/100$ pp, $g = \nabla h$ avec h solution de $-\Delta h(x, y) = y(1 - y)(-x^2 + x - 1/6)$, et $\nabla h \cdot \mathbf{n} = 0$ sur $\partial\Omega$



Calcul de $g \cdot e_2$ sur des carrés

Exemple 2D

$\Omega = (0, 1)^2$, $\Lambda(x) = I_d$ et $F(x) = 1/100$ pp, $g = \nabla h$ avec h solution de $-\Delta h(x, y) = y(1 - y)(-x^2 + x - 1/6)$, et $\nabla h \cdot \mathbf{n} = 0$ sur $\partial\Omega$



Calcul de $\tilde{g} \cdot e_2$ sur des carrés

Conclusions

beaucoup de problèmes ouverts : régularité de g ,
projection L^2 , cas transitoire

un problème d'avenir...